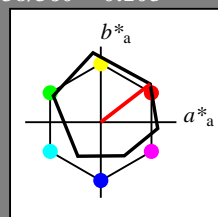


Eingabe: Farbmimetrisches Reflexions-System ORS18

für Buntton  $h^* = lab^*h = 38/360 = 0.105$   
 $lab^*tch$  und  $lab^*nch$

D65: Buntton O  
 LCH\*Ma: 48 83 38  
 rgb\*Ma: 1.0 0.0 0.0

Dreiecks-Helligkeit  $t^*$



ORS18; adaptierte CIELAB-Daten

	$L^*=L^*_a$	$a^*_a$	$b^*_a$	$C^*_{ab,a}$	$h^*_{ab,a}$
OMa	47.94	65.37	50.52	82.62	38
YMa	90.37	-10.27	91.77	92.34	96
LMa	50.9	-62.79	34.95	71.87	151
CMa	58.62	-30.35	-45.01	54.3	236
VMa	25.71	31.11	-44.42	54.24	305
MMa	48.13	75.27	-8.35	75.73	354
NMa	18.01	0.0	0.0	0.0	0
WMa	95.41	0.0	0.0	0.0	0
RCIE	39.92	58.66	26.98	64.56	25
JCIE	81.26	-2.17	67.76	67.79	92
GCIE	52.23	-42.26	11.75	43.87	164
BCIE	30.57	1.15	-46.84	46.87	271

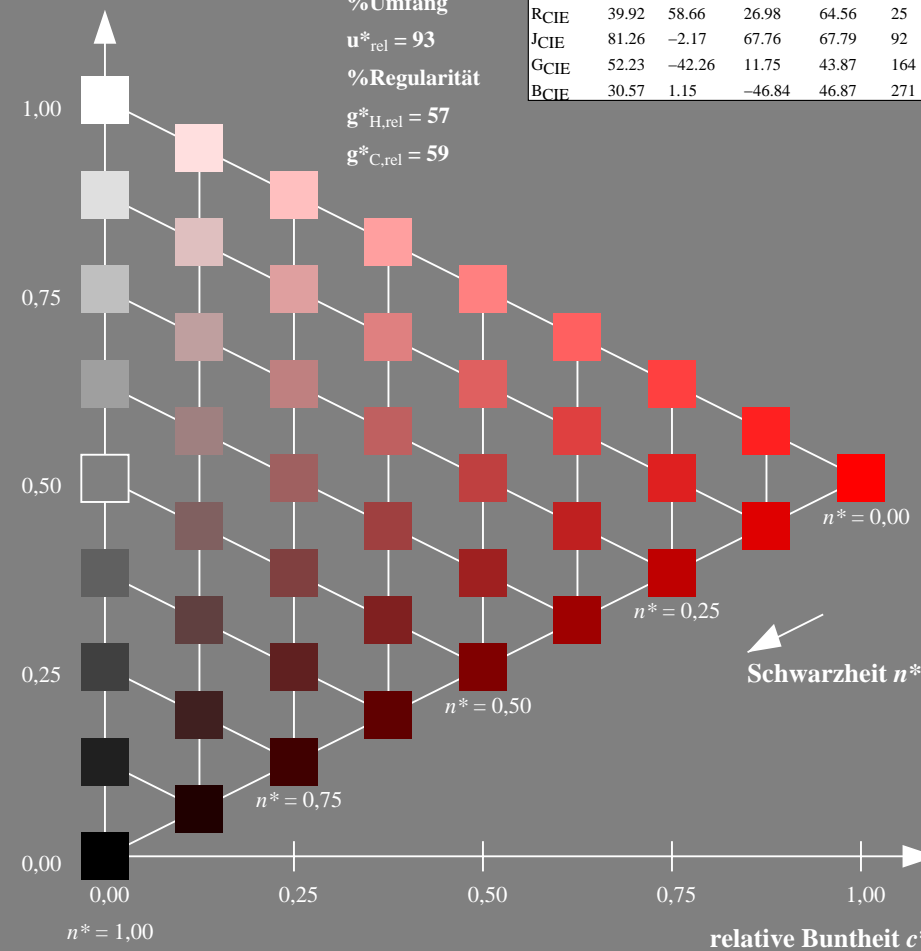
%Umfang

$u^*_{rel} = 93$

%Regularität

$g^*_{H,rel} = 57$

$g^*_{C,rel} = 59$



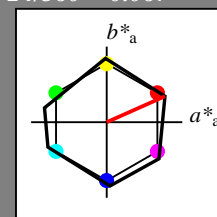
TG720-7, 9stufige Reihen für konstanten CIELAB Buntton 38/360 = 0.105 (links)

Ausgabe: Farbmimetrisches Reflexions-System NRS11

für Buntton  $h^* = lab^*h = 24/360 = 0.067$   
 $lab^*tch$  und  $lab^*nch$

D65: Buntton R  
 LCH\*Ma: 53 84 24  
 rgb\*Ma: 1.0 0.0 0.0

Dreiecks-Helligkeit  $t^*$



NRS11; adaptierte CIELAB-Daten

	$L^*=L^*_a$	$a^*_a$	$b^*_a$	$C^*_{ab,a}$	$h^*_{ab,a}$
RMa	53.2	77.06	34.32	84.36	24
JMa	53.2	-1.51	84.38	84.39	91
GMa	53.2	-82.27	18.98	84.44	167
G50BMa	53.2	-77.72	-32.98	84.44	203
BMa	53.2	4.37	-84.28	84.41	273
B50RMa	53.2	69.09	-48.41	84.37	325
NMa	10.99	0.0	0.0	0.0	0
WMa	95.41	0.0	0.0	0.0	0
RCIE	39.92	58.69	27.98	65.01	25
JCIE	81.26	-2.9	71.56	71.62	92
GCIE	52.23	-42.45	13.59	44.59	162
BCIE	30.57	1.35	-46.48	46.51	272

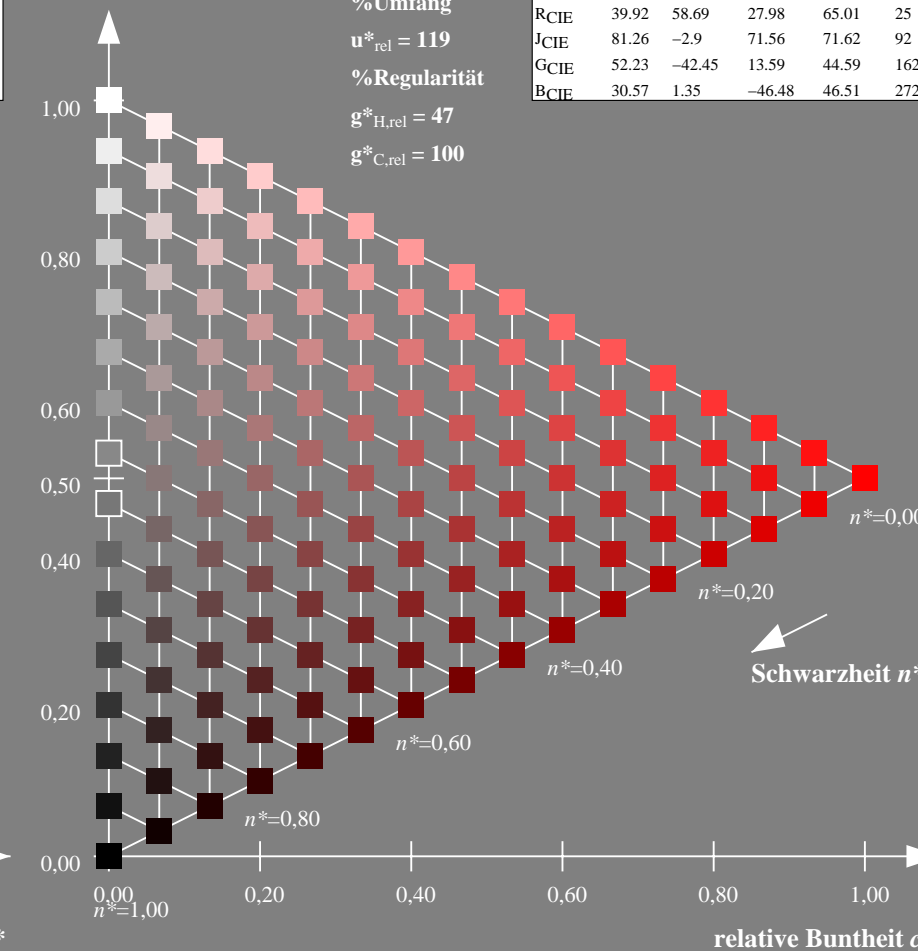
%Umfang

$u^*_{rel} = 119$

%Regularität

$g^*_{H,rel} = 47$

$g^*_{C,rel} = 100$



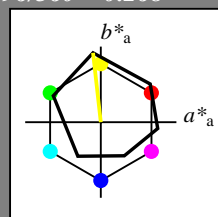
16stufige Reihen für konstanten CIELAB Buntton 24/360 = 0.067 (rechts)

Eingabe: Farbmimetrisches Reflexions-System ORS18

für Buntton  $h^* = lab^*h = 96/360 = 0.268$   
 $lab^*tch$  und  $lab^*nch$

D65: Buntton Y  
 LCH\*Ma: 90 92 96  
 rgb\*Ma: 1.0 1.0 0.0

Dreiecks-Helligkeit  $t^*$



%Umfang

$u^*_{rel} = 93$

%Regularität

$g^*_{H,rel} = 57$

$g^*_{C,rel} = 59$

ORS18; adaptierte CIELAB-Daten

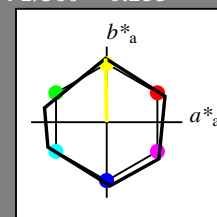
	$L^*=L^*_a$	$a^*_a$	$b^*_a$	$C^*_{ab,a}$	$h^*_{ab,a}$
OMa	47.94	65.37	50.52	82.62	38
YMa	90.37	-10.27	91.77	92.34	96
LMa	50.9	-62.79	34.95	71.87	151
CMa	58.62	-30.35	-45.01	54.3	236
VMa	25.71	31.11	-44.42	54.24	305
MMa	48.13	75.27	-8.35	75.73	354
NMa	18.01	0.0	0.0	0.0	0
WMa	95.41	0.0	0.0	0.0	0
RCIE	39.92	58.66	26.98	64.56	25
JCIE	81.26	-2.17	67.76	67.79	92
GCIE	52.23	-42.26	11.75	43.87	164
BCIE	30.57	1.15	-46.84	46.87	271

Ausgabe: Farbmimetrisches Reflexions-System NRS11

für Buntton  $h^* = lab^*h = 91/360 = 0.253$   
 $lab^*tch$  und  $lab^*nch$

D65: Buntton J  
 LCH\*Ma: 53 84 91  
 rgb\*Ma: 1.0 1.0 0.0

Dreiecks-Helligkeit  $t^*$



%Umfang

$u^*_{rel} = 119$

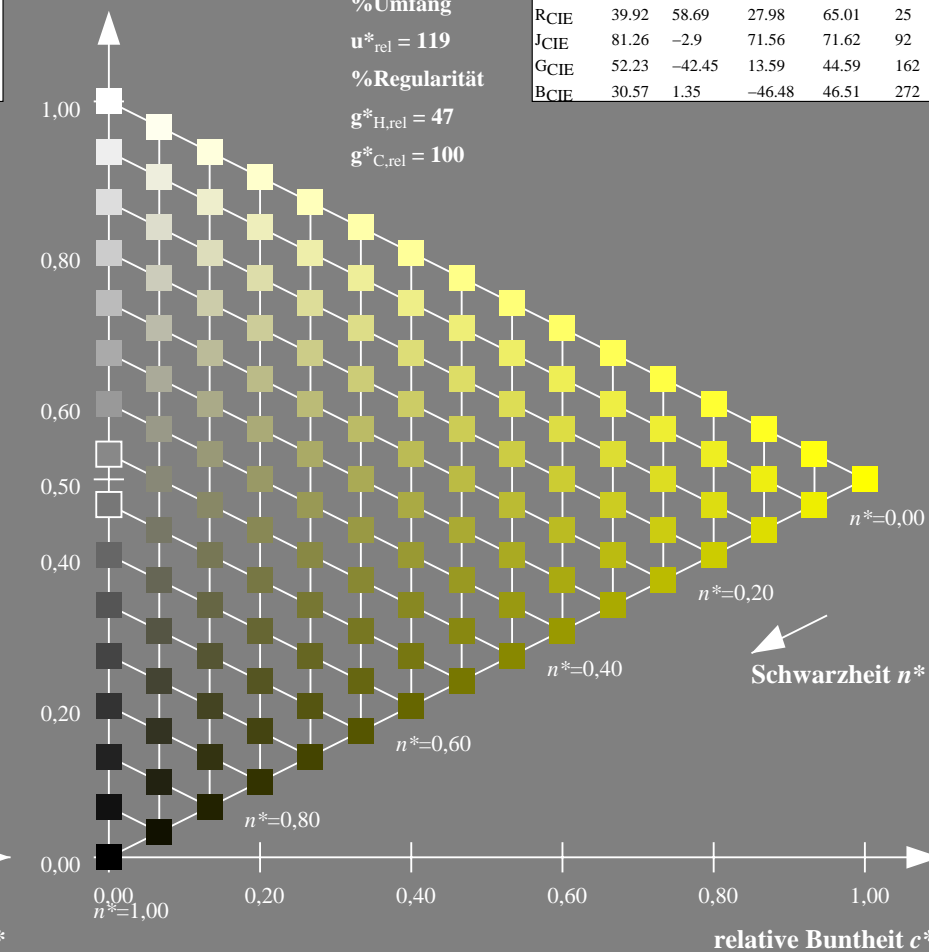
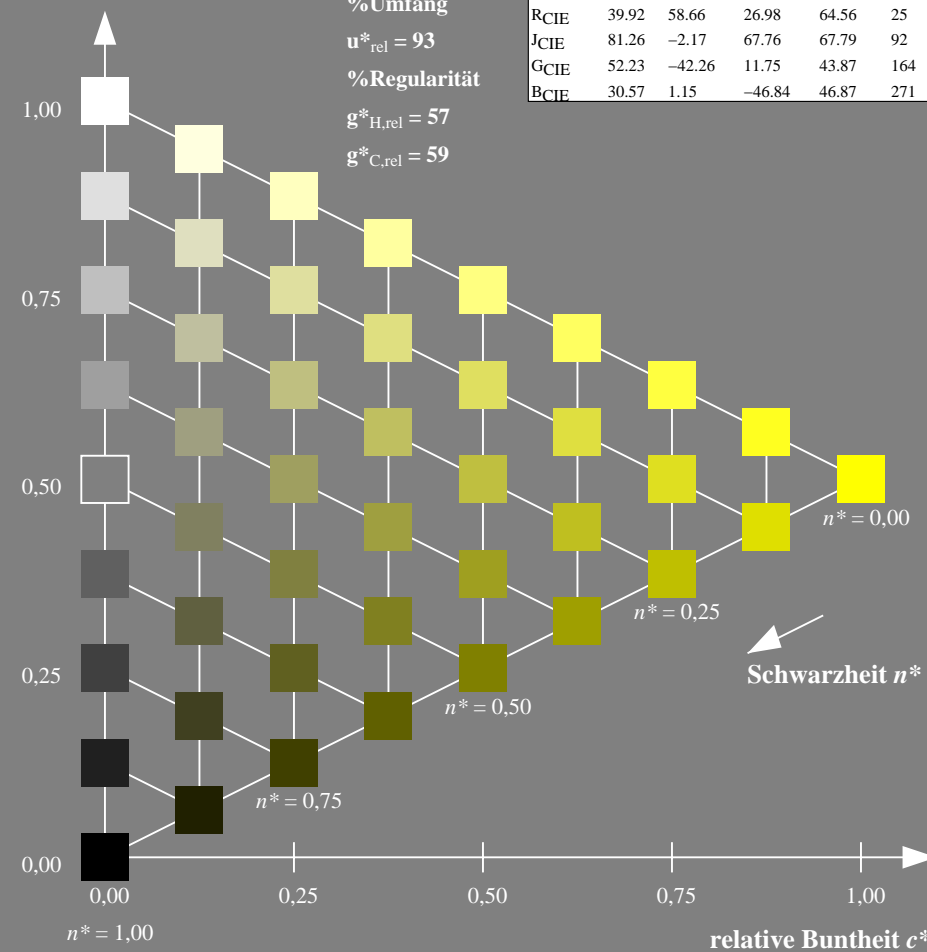
%Regularität

$g^*_{H,rel} = 47$

$g^*_{C,rel} = 100$

NRS11; adaptierte CIELAB-Daten

	$L^*=L^*_a$	$a^*_a$	$b^*_a$	$C^*_{ab,a}$	$h^*_{ab,a}$
RMa	53.2	77.06	34.32	84.36	24
JMa	53.2	-1.51	84.38	84.39	91
GMa	53.2	-82.27	18.98	84.44	167
G50BMa	53.2	-77.72	-32.98	84.44	203
BMa	53.2	4.37	-84.28	84.41	273
B50RMa	53.2	69.09	-48.41	84.37	325
NMa	10.99	0.0	0.0	0.0	0
WMa	95.41	0.0	0.0	0.0	0
RCIE	39.92	58.69	27.98	65.01	25
JCIE	81.26	-2.9	71.56	71.62	92
GCIE	52.23	-42.45	13.59	44.59	162
BCIE	30.57	1.35	-46.48	46.51	272



TG720-7, 9stufige Reihen für konstanten CIELAB Buntton 96/360 = 0.268 (links)

16stufige Reihen für konstanten CIELAB Buntton 91/360 = 0.253 (rechts)

BAM-Prüfvorlage TG72; Farbmimetrik-Systeme ORS18 & NRS11 input:  $olv^* setrgbcolor$   
 D65: 9 und 16stufige Farbreihen für 10 Bunttöne  
 output: no change compared to input

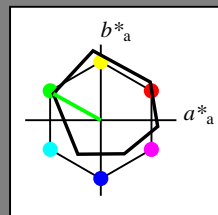
BAM-Registrierung: 20060101-TG72/10S/S72G01NP.PS/.PDF BAM-Material: Code=rh4ta  
 Anwendung für Beurteilung und Messung von Drucker- oder Monitorssystemen  
 /TG72 Form: 2/10, Serie: 1/1, Seite: 2  
 Seitenzahl: 2

Eingabe: Farbmimetrisches Reflexions-System ORS18

für Buntton  $h^* = lab^*h = 151/360 = 0.419$   
 $lab^*tch$  und  $lab^*nch$

D65: Buntton L  
 LCH\*Ma: 51 72 151  
 rgb\*Ma: 0.0 1.0 0.0

Dreiecks-Helligkeit  $t^*$



ORS18; adaptierte CIELAB-Daten

	$L^*=L^*_a$	$a^*_a$	$b^*_a$	$C^*_{ab,a}$	$h^*_{ab,a}$
OMa	47.94	65.37	50.52	82.62	38
YMa	90.37	-10.27	91.77	92.34	96
LMa	50.9	-62.79	34.95	71.87	151
CMa	58.62	-30.35	-45.01	54.3	236
VMa	25.71	31.11	-44.42	54.24	305
MMa	48.13	75.27	-8.35	75.73	354
NMa	18.01	0.0	0.0	0.0	0
WMa	95.41	0.0	0.0	0.0	0
RCIE	39.92	58.66	26.98	64.56	25
JCIE	81.26	-2.17	67.76	67.79	92
GCIE	52.23	-42.26	11.75	43.87	164
BCIE	30.57	1.15	-46.84	46.87	271

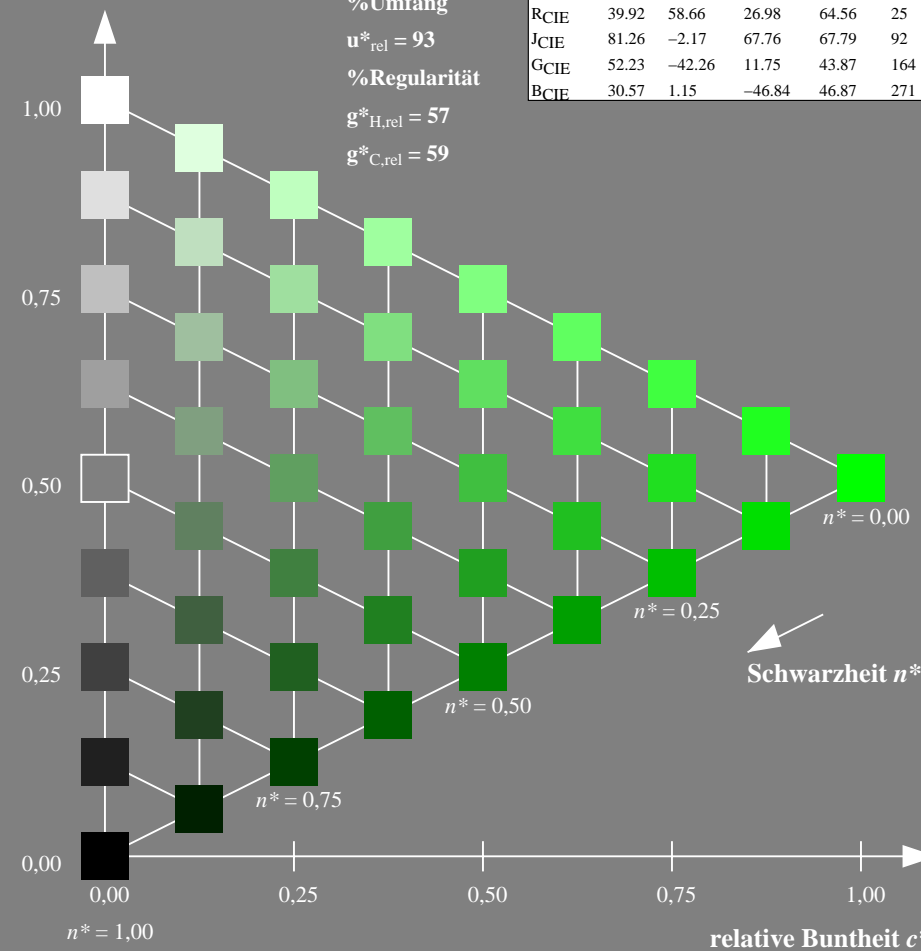
%Umfang

$u^*_{rel} = 93$

%Regularität

$g^*_{H,rel} = 57$

$g^*_{C,rel} = 59$

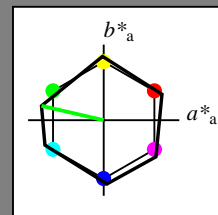


Ausgabe: Farbmimetrisches Reflexions-System NRS11

für Buntton  $h^* = lab^*h = 167/360 = 0.464$   
 $lab^*tch$  und  $lab^*nch$

D65: Buntton G  
 LCH\*Ma: 53 84 167  
 rgb\*Ma: 0.0 1.0 0.0

Dreiecks-Helligkeit  $t^*$



NRS11; adaptierte CIELAB-Daten

	$L^*=L^*_a$	$a^*_a$	$b^*_a$	$C^*_{ab,a}$	$h^*_{ab,a}$
RMa	53.2	77.06	34.32	84.36	24
JMa	53.2	-1.51	84.38	84.39	91
GMa	53.2	-82.27	18.98	84.44	167
G50BMa	53.2	-77.72	-32.98	84.44	203
BMa	53.2	4.37	-84.28	84.41	273
B50RMa	53.2	69.09	-48.41	84.37	325
NMa	10.99	0.0	0.0	0.0	0
WMa	95.41	0.0	0.0	0.0	0
RCIE	39.92	58.69	27.98	65.01	25
JCIE	81.26	-2.9	71.56	71.62	92
GCIE	52.23	-42.45	13.59	44.59	162
BCIE	30.57	1.35	-46.48	46.51	272

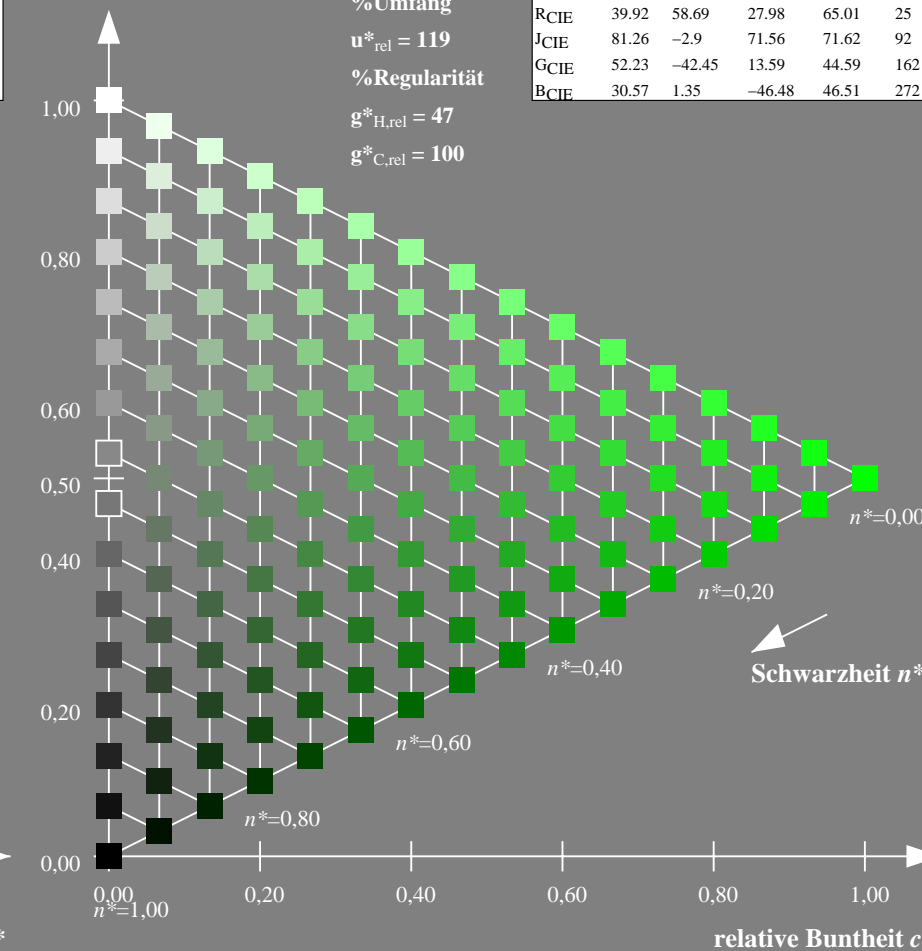
%Umfang

$u^*_{rel} = 119$

%Regularität

$g^*_{H,rel} = 47$

$g^*_{C,rel} = 100$



TG720-7, 9stufige Reihen für konstanten CIELAB Buntton 151/360 = 0.419 (links)

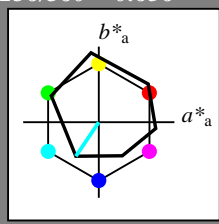
16stufige Reihen für konstanten CIELAB Buntton 167/360 = 0.464 (rechts)

BAM-Prüfvorlage TG72; Farbmimetrik-Systeme ORS18 & NRS11 input:  $olv^* setrgbcolor$   
 D65: 9 und 16stufige Farbreihen für 10 Bunttöne  
 output: no change compared to input

Eingabe: Farbmimetrisches Reflexions-System ORS18

für Buntton  $h^* = lab^*h = 236/360 = 0.656$   
 $lab^*tch$  und  $lab^*nch$

D65: Buntton C  
 LCH\*Ma: 59 54 236  
 rgb\*Ma: 0.0 1.0 1.0

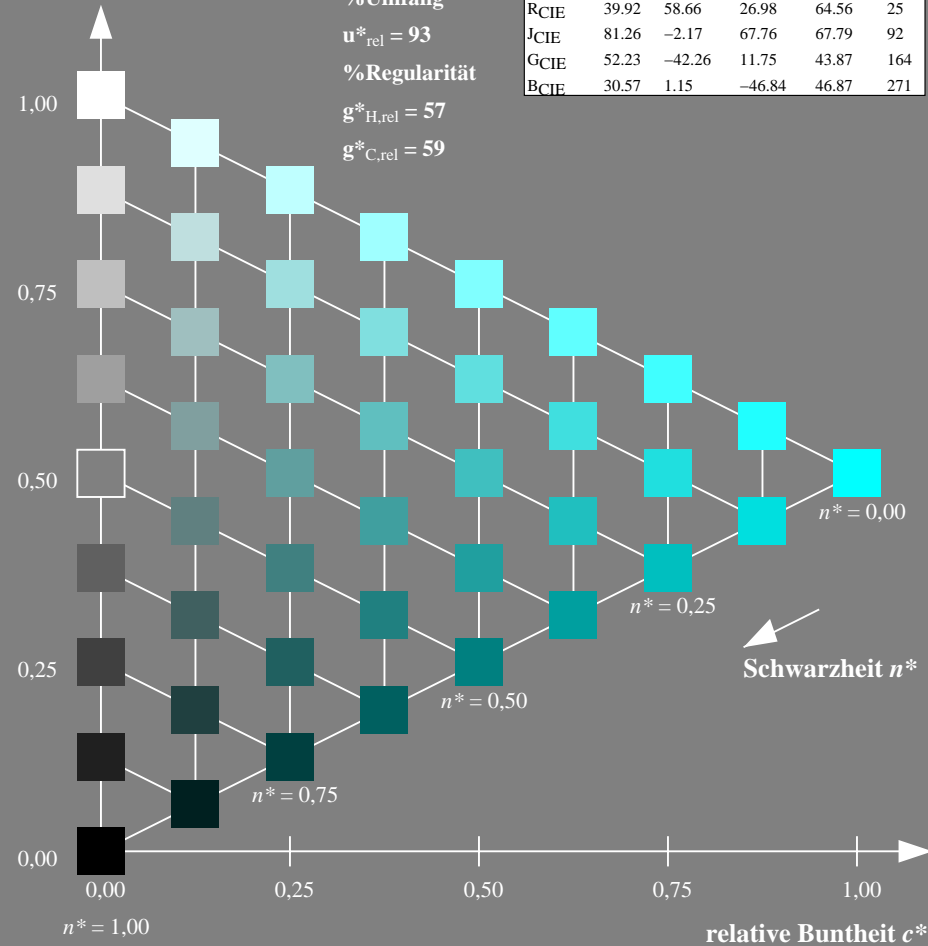


ORS18; adaptierte CIELAB-Daten

	$L^*=L^*_a$	$a^*_a$	$b^*_a$	$C^*_{ab,a}$	$h^*_{ab,a}$
OMa	47.94	65.37	50.52	82.62	38
YMa	90.37	-10.27	91.77	92.34	96
LMa	50.9	-62.79	34.95	71.87	151
CMa	58.62	-30.35	-45.01	54.3	236
VMa	25.71	31.11	-44.42	54.24	305
MMa	48.13	75.27	-8.35	75.73	354
NMa	18.01	0.0	0.0	0.0	0
WMa	95.41	0.0	0.0	0.0	0
RCIE	39.92	58.66	26.98	64.56	25
JCIE	81.26	-2.17	67.76	67.79	92
GCIE	52.23	-42.26	11.75	43.87	164
BCIE	30.57	1.15	-46.84	46.87	271

Dreiecks-Helligkeit  $t^*$

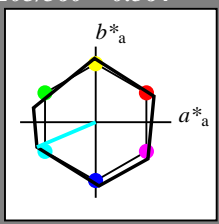
%Umfang  
 $u^*_{rel} = 93$   
 %Regularität  
 $g^*_{H,rel} = 57$   
 $g^*_{C,rel} = 59$



Ausgabe: Farbmimetrisches Reflexions-System NRS11

für Buntton  $h^* = lab^*h = 203/360 = 0.564$   
 $lab^*tch$  und  $lab^*nch$

D65: Buntton G50B  
 LCH\*Ma: 53 84 203  
 rgb\*Ma: 0.0 1.0 1.0

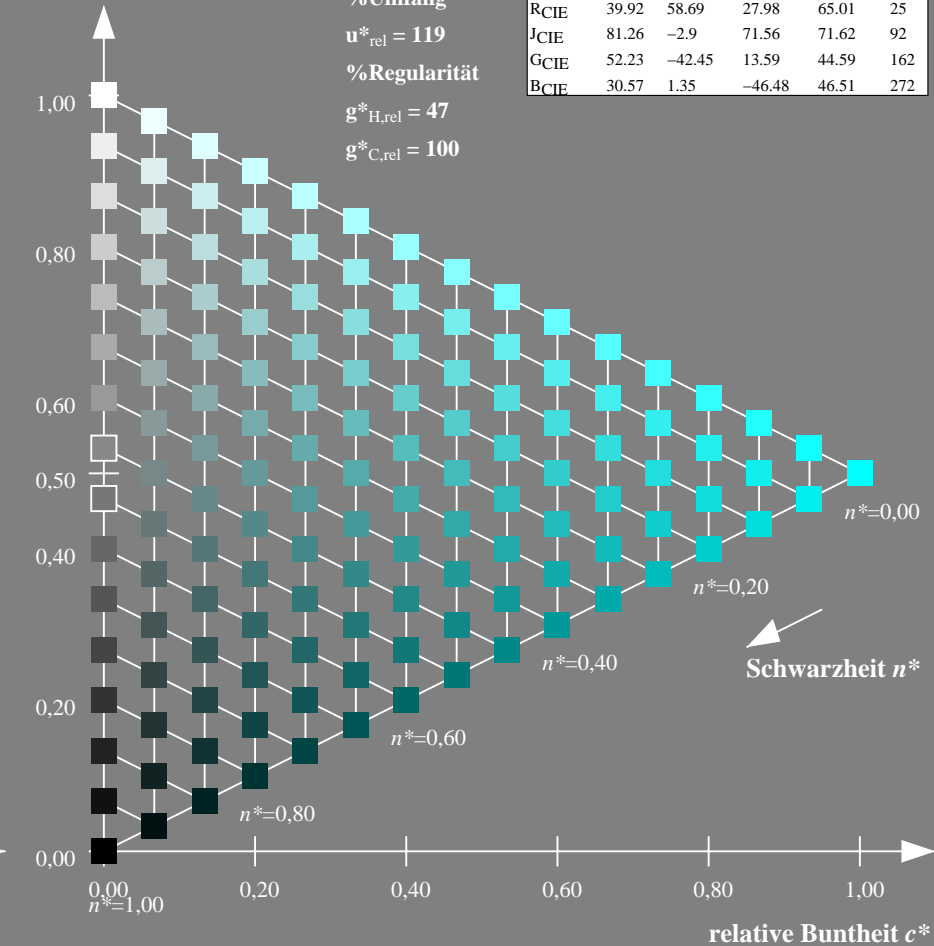


NRS11; adaptierte CIELAB-Daten

	$L^*=L^*_a$	$a^*_a$	$b^*_a$	$C^*_{ab,a}$	$h^*_{ab,a}$
RMa	53.2	77.06	34.32	84.36	24
JMa	53.2	-1.51	84.38	84.39	91
GMa	53.2	-82.27	18.98	84.44	167
G50BMa	53.2	-77.72	-32.98	84.44	203
BMa	53.2	4.37	-84.28	84.41	273
B50RMa	53.2	69.09	-48.41	84.37	325
NMa	10.99	0.0	0.0	0.0	0
WMa	95.41	0.0	0.0	0.0	0
RCIE	39.92	58.69	27.98	65.01	25
JCIE	81.26	-2.9	71.56	71.62	92
GCIE	52.23	-42.45	13.59	44.59	162
BCIE	30.57	1.35	-46.48	46.51	272

Dreiecks-Helligkeit  $t^*$

%Umfang  
 $u^*_{rel} = 119$   
 %Regularität  
 $g^*_{H,rel} = 47$   
 $g^*_{C,rel} = 100$



TG720-7, 9stufige Reihen für konstanten CIELAB Buntton 236/360 = 0.656 (links)

16stufige Reihen für konstanten CIELAB Buntton 203/360 = 0.564 (rechts)

BAM-Prüfvorlage TG72; Farbmimetrik-Systeme ORS18 & NRS11 input:  $olv^* setrgbcolor$   
 D65: 9 und 16stufige Farbreihen für 10 Bunttöne  
 output: no change compared to input

Siehe ähnliche Dateien: <http://www.ps.bam.de/TG72/>  
 Technische Information: <http://www.ps.bam.de> Version 2.1, io=1,1

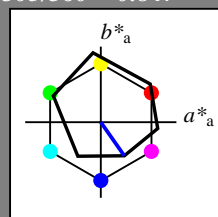
BAM-Registrierung: 20060101-TG72/10S/S72G03NP.PS/.PDF BAM-Material: Code=rh4ta  
 Anwendung für Beurteilung und Messung von Drucker- oder Monitorssystemen  
 /TG72 Form: 4/10, Serie: 1/1, Seite: 4  
 Seitenhang 4

Eingabe: Farbmimetrisches Reflexions-System ORS18

für Buntton  $h^* = lab^*h = 305/360 = 0.847$   
 $lab^*tch$  und  $lab^*nch$

D65: Buntton V  
 LCH\*Ma: 26 54 305  
 rgb\*Ma: 0.0 0.0 1.0

Dreiecks-Helligkeit  $t^*$



ORS18; adaptierte CIELAB-Daten

	$L^*=L^*_a$	$a^*_a$	$b^*_a$	$C^*_{ab,a}$	$h^*_{ab,a}$
OMa	47.94	65.37	50.52	82.62	38
YMa	90.37	-10.27	91.77	92.34	96
LMa	50.9	-62.79	34.95	71.87	151
CMa	58.62	-30.35	-45.01	54.3	236
VMa	25.71	31.11	-44.42	54.24	305
MMa	48.13	75.27	-8.35	75.73	354
NMa	18.01	0.0	0.0	0.0	0
WMa	95.41	0.0	0.0	0.0	0
RCIE	39.92	58.66	26.98	64.56	25
JCIE	81.26	-2.17	67.76	67.79	92
GCIE	52.23	-42.26	11.75	43.87	164
BCIE	30.57	1.15	-46.84	46.87	271

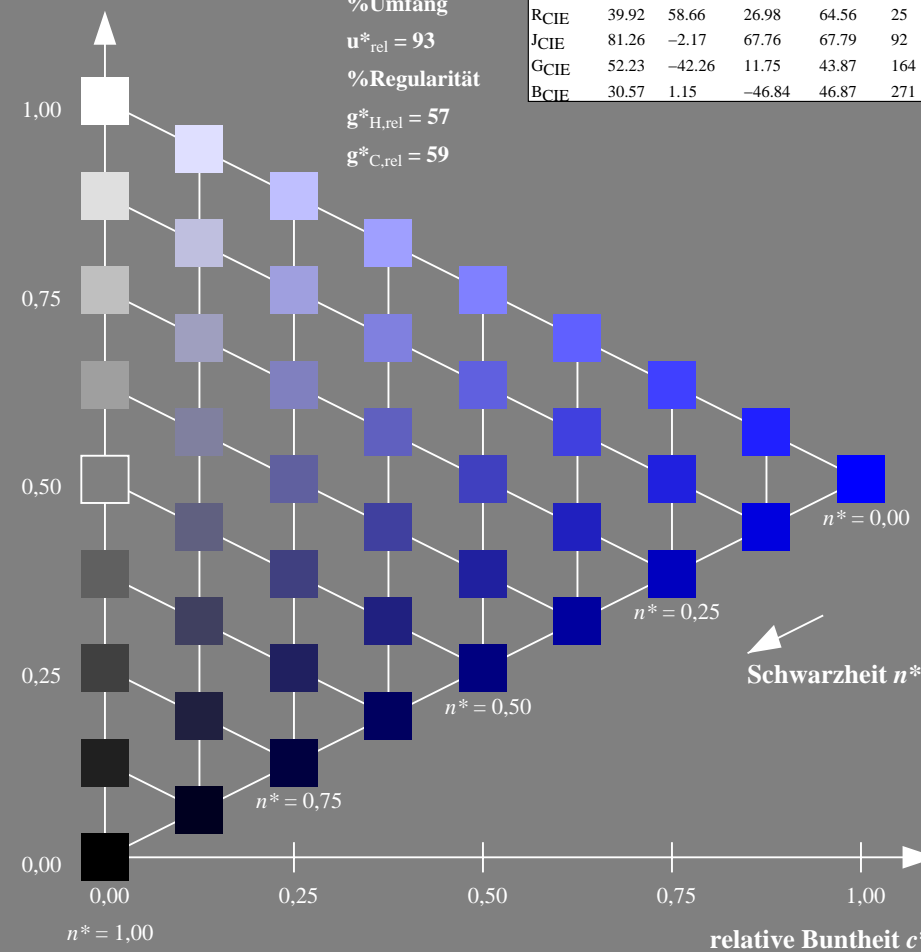
%Umfang

$u^*_{rel} = 93$

%Regularität

$g^*_{H,rel} = 57$

$g^*_{C,rel} = 59$

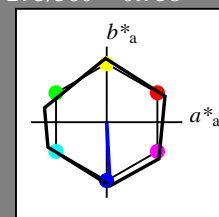


Ausgabe: Farbmimetrisches Reflexions-System NRS11

für Buntton  $h^* = lab^*h = 273/360 = 0.758$   
 $lab^*tch$  und  $lab^*nch$

D65: Buntton B  
 LCH\*Ma: 53 84 273  
 rgb\*Ma: 0.0 0.0 1.0

Dreiecks-Helligkeit  $t^*$



NRS11; adaptierte CIELAB-Daten

	$L^*=L^*_a$	$a^*_a$	$b^*_a$	$C^*_{ab,a}$	$h^*_{ab,a}$
RMa	53.2	77.06	34.32	84.36	24
JMa	53.2	-1.51	84.38	84.39	91
GMa	53.2	-82.27	18.98	84.44	167
G50BMa	53.2	-77.72	-32.98	84.44	203
BMa	53.2	4.37	-84.28	84.41	273
B50RMa	53.2	69.09	-48.41	84.37	325
NMa	10.99	0.0	0.0	0.0	0
WMa	95.41	0.0	0.0	0.0	0
RCIE	39.92	58.69	27.98	65.01	25
JCIE	81.26	-2.9	71.56	71.62	92
GCIE	52.23	-42.45	13.59	44.59	162
BCIE	30.57	1.35	-46.48	46.51	272

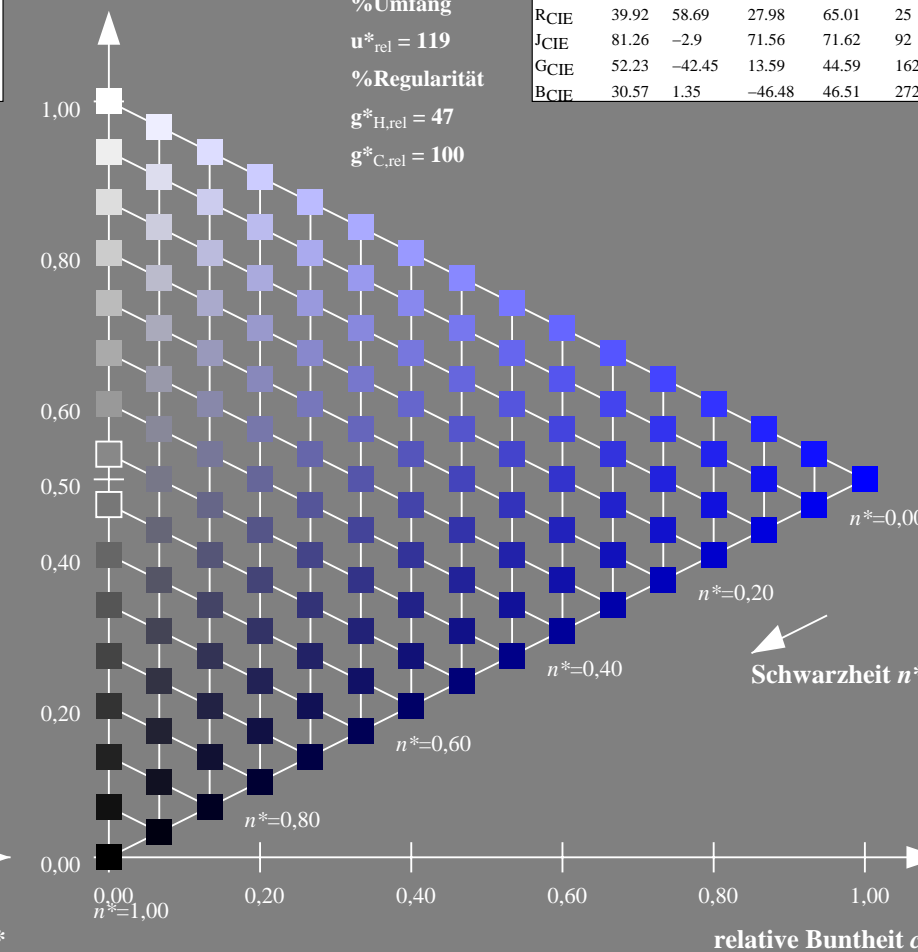
%Umfang

$u^*_{rel} = 119$

%Regularität

$g^*_{H,rel} = 47$

$g^*_{C,rel} = 100$



TG720-7, 9stufige Reihen für konstanten CIELAB Buntton 305/360 = 0.847 (links)

16stufige Reihen für konstanten CIELAB Buntton 273/360 = 0.758 (rechts)

BAM-Prüfvorlage TG72; Farbmimetrik-Systeme ORS18 & NRS11 input:  $olv^* setrgbcolor$   
 D65: 9 und 16stufige Farbreihen für 10 Bunttöne  
 output: no change compared to input

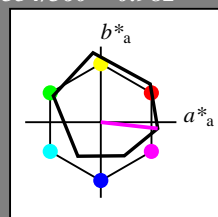
BAM-Registrierung: 20060101-TG72/10S/S72G04NP.PS/.PDF BAM-Material: Code=rh4ta  
 Anwendung für Beurteilung und Messung von Drucker- oder Monitorssystemen  
 /TG72 Form: 5/10, Serie: 1/1, Seite: 5  
 Seitenhang 5

Eingabe: Farbmimetrisches Reflexions-System ORS18

für Buntton  $h^* = lab^*h = 354/360 = 0.982$   
 $lab^*tch$  und  $lab^*nch$

D65: Buntton M  
 LCH\*Ma: 48 76 354  
 rgb\*Ma: 1.0 0.0 1.0

Dreiecks-Helligkeit  $t^*$



ORS18; adaptierte CIELAB-Daten

	$L^*=L^*_a$	$a^*_a$	$b^*_a$	$C^*_{ab,a}$	$h^*_{ab,a}$
OMa	47.94	65.37	50.52	82.62	38
YMa	90.37	-10.27	91.77	92.34	96
LMa	50.9	-62.79	34.95	71.87	151
CMa	58.62	-30.35	-45.01	54.3	236
VMa	25.71	31.11	-44.42	54.24	305
MMa	48.13	75.27	-8.35	75.73	354
NMa	18.01	0.0	0.0	0.0	0
WMa	95.41	0.0	0.0	0.0	0
RCIE	39.92	58.66	26.98	64.56	25
JCIE	81.26	-2.17	67.76	67.79	92
GCIE	52.23	-42.26	11.75	43.87	164
BCIE	30.57	1.15	-46.84	46.87	271

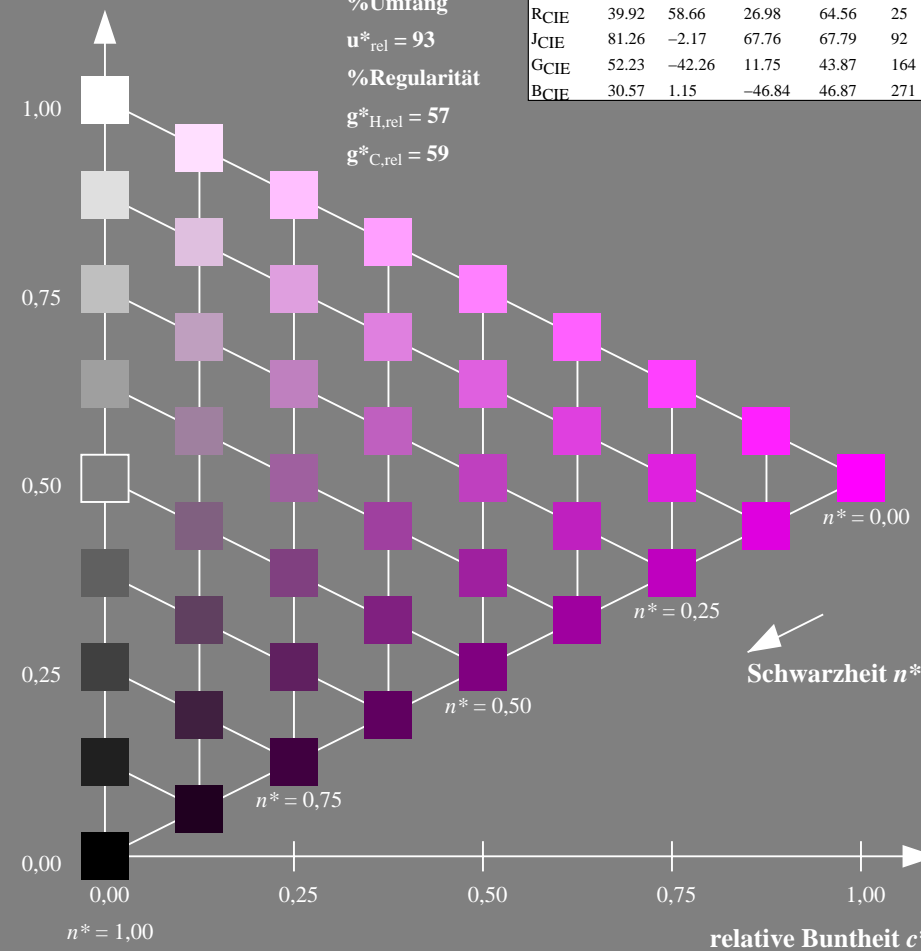
%Umfang

$u^*_{rel} = 93$

%Regularität

$g^*_{H,rel} = 57$

$g^*_{C,rel} = 59$

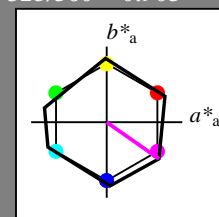


Ausgabe: Farbmimetrisches Reflexions-System NRS11

für Buntton  $h^* = lab^*h = 325/360 = 0.903$   
 $lab^*tch$  und  $lab^*nch$

D65: Buntton B50R  
 LCH\*Ma: 53 84 325  
 rgb\*Ma: 1.0 0.0 1.0

Dreiecks-Helligkeit  $t^*$



NRS11; adaptierte CIELAB-Daten

	$L^*=L^*_a$	$a^*_a$	$b^*_a$	$C^*_{ab,a}$	$h^*_{ab,a}$
RMa	53.2	77.06	34.32	84.36	24
JMa	53.2	-1.51	84.38	84.39	91
GMa	53.2	-82.27	18.98	84.44	167
G50BMa	53.2	-77.72	-32.98	84.44	203
BMa	53.2	4.37	-84.28	84.41	273
B50RMa	53.2	69.09	-48.41	84.37	325
NMa	10.99	0.0	0.0	0.0	0
WMa	95.41	0.0	0.0	0.0	0
RCIE	39.92	58.69	27.98	65.01	25
JCIE	81.26	-2.9	71.56	71.62	92
GCIE	52.23	-42.45	13.59	44.59	162
BCIE	30.57	1.35	-46.48	46.51	272

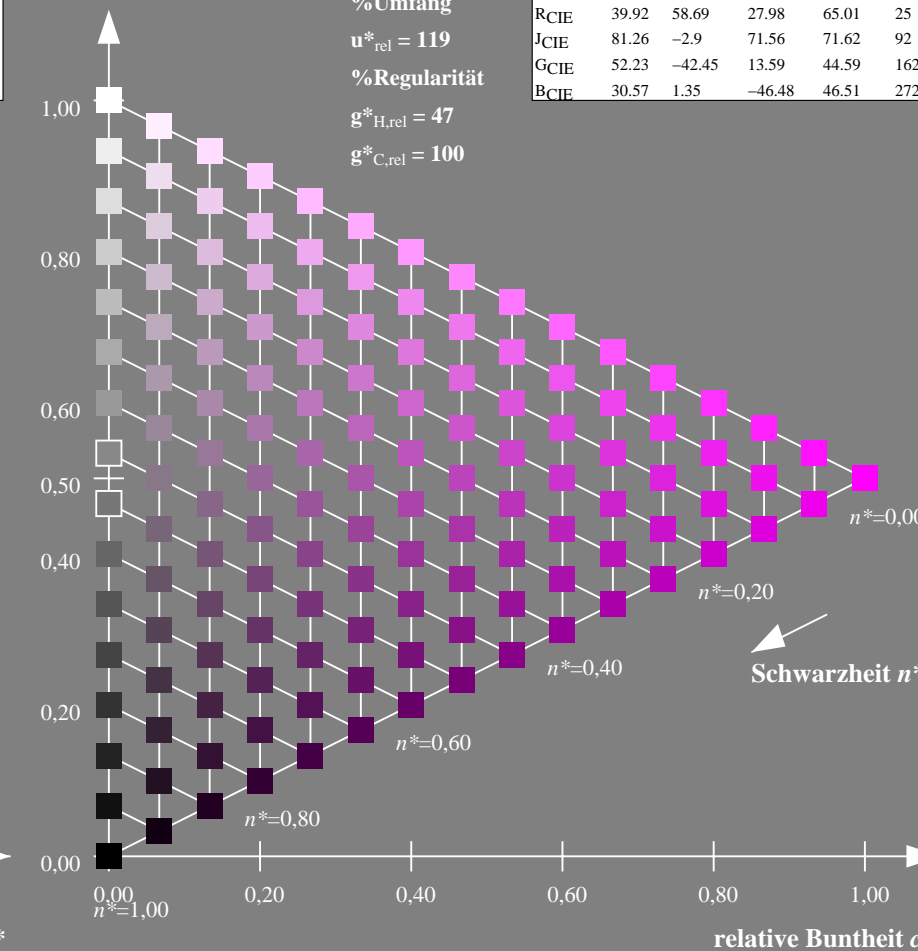
%Umfang

$u^*_{rel} = 119$

%Regularität

$g^*_{H,rel} = 47$

$g^*_{C,rel} = 100$



TG720-7, 9stufige Reihen für konstanten CIELAB Buntton 354/360 = 0.982 (links)

16stufige Reihen für konstanten CIELAB Buntton 325/360 = 0.903 (rechts)

BAM-Prüfvorlage TG72; Farbmimetrik-Systeme ORS18 & NRS11 input:  $olv^* setrgbcolor$   
 D65: 9 und 16stufige Farbreihen für 10 Bunttöne

output: no change compared to input

BAM-Registrierung: 20060101-TG72/10S/S72G05NP.PS/.PDF BAM-Material: Code=rh4ta  
 Anwendung für Beurteilung und Messung von Drucker- oder Monitorssystemen  
 /TG72 Form: 6/10, Serie: 1/1, Seite: 6  
 Seitenzahl: 6

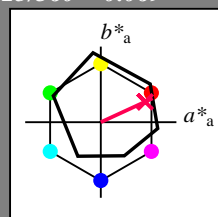
Siehe ähnliche Dateien: <http://www.ps.bam.de/TG72/>  
 Technische Information: <http://www.ps.bam.de> Version 2.1, io=1,1

Eingabe: Farbmimetrisches Reflexions-System ORS18

für Buntton  $h^* = lab^*h = 25/360 = 0.069$   
 $lab^*tch$  und  $lab^*nch$

D65: Buntton R  
 LCH\*Ma: 48 75 25  
 rgb\*Ma: 1.0 0.0 0.32

Dreiecks-Helligkeit  $t^*$



ORS18; adaptierte CIELAB-Daten

	$L^*=L^*_a$	$a^*_a$	$b^*_a$	$C^*_{ab,a}$	$h^*_{ab,a}$
OMa	47.94	65.37	50.52	82.62	38
YMa	90.37	-10.27	91.77	92.34	96
LMa	50.9	-62.79	34.95	71.87	151
CMa	58.62	-30.35	-45.01	54.3	236
VMa	25.71	31.11	-44.42	54.24	305
MMa	48.13	75.27	-8.35	75.73	354
NMa	18.01	0.0	0.0	0.0	0
WMa	95.41	0.0	0.0	0.0	0
RCIE	39.92	58.66	26.98	64.56	25
JCIE	81.26	-2.17	67.76	67.79	92
GCIE	52.23	-42.26	11.75	43.87	164
BCIE	30.57	1.15	-46.84	46.87	271

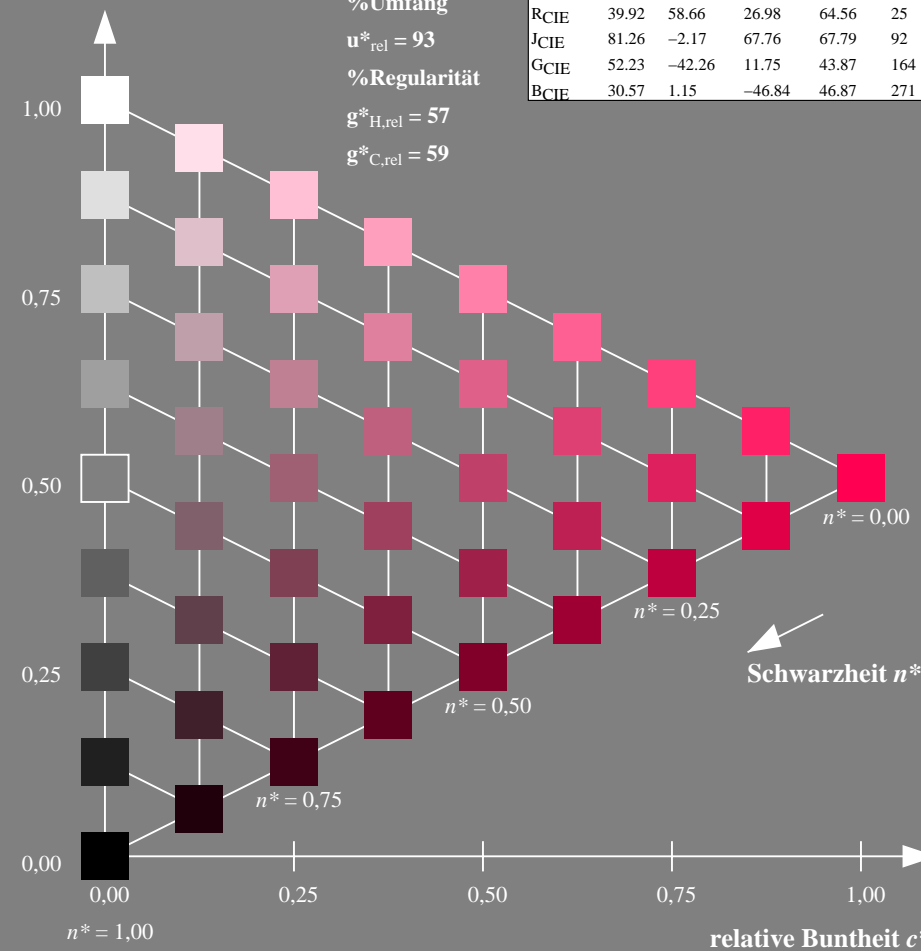
%Umfang

$u^*_{rel} = 93$

%Regularität

$g^*_{H,rel} = 57$

$g^*_{C,rel} = 59$

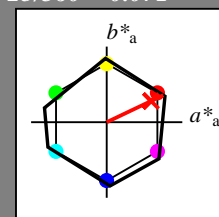


Ausgabe: Farbmimetrisches Reflexions-System NRS11

für Buntton  $h^* = lab^*h = 25/360 = 0.071$   
 $lab^*tch$  und  $lab^*nch$

D65: Buntton R  
 LCH\*Ma: 53 83 25  
 rgb\*Ma: 1.0 0.03 0.0

Dreiecks-Helligkeit  $t^*$



NRS11; adaptierte CIELAB-Daten

	$L^*=L^*_a$	$a^*_a$	$b^*_a$	$C^*_{ab,a}$	$h^*_{ab,a}$
RMa	53.2	77.06	34.32	84.36	24
JMa	53.2	-1.51	84.38	84.39	91
GMa	53.2	-82.27	18.98	84.44	167
G50BMa	53.2	-77.72	-32.98	84.44	203
BMa	53.2	4.37	-84.28	84.41	273
B50RMa	53.2	69.09	-48.41	84.37	325
NMa	10.99	0.0	0.0	0.0	0
WMa	95.41	0.0	0.0	0.0	0
RCIE	39.92	58.69	27.98	65.01	25
JCIE	81.26	-2.9	71.56	71.62	92
GCIE	52.23	-42.45	13.59	44.59	162
BCIE	30.57	1.35	-46.48	46.51	272

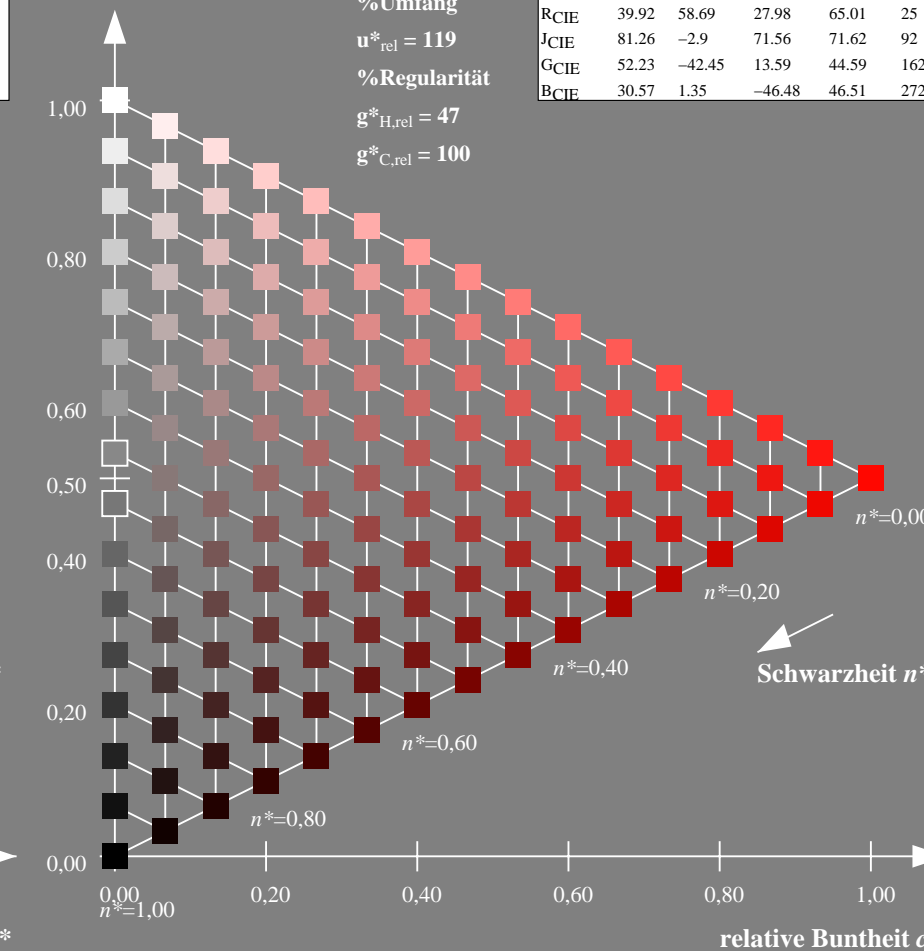
%Umfang

$u^*_{rel} = 119$

%Regularität

$g^*_{H,rel} = 47$

$g^*_{C,rel} = 100$



TG720-7, 9stufige Reihen für konstanten CIELAB Buntton 25/360 = 0.069 (links)

16stufige Reihen für konstanten CIELAB Buntton 25/360 = 0.071 (rechts)

BAM-Prüfvorlage TG72; Farbmimetrik-Systeme ORS18 & NRS11 input:  $olv^* setrgbcolor$   
 D65: 9 und 16stufige Farbreihen für 10 Bunttöne

output: no change compared to input

BAM-Registrierung: 20060101-TG72/10S/S72G06NP.PS/.PDF BAM-Material: Code=rh4ta  
 Anwendung für Beurteilung und Messung von Drucker- oder Monitorssystemen  
 /TG72 Form: 7/10, Serie: 1/1, Seite: 7  
 Seitenzahl: 7

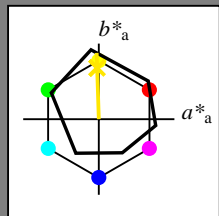
Siehe ähnliche Dateien: <http://www.ps.bam.de/TG72/>  
 Technische Information: <http://www.ps.bam.de> Version 2.1, io=1,1

Eingabe: Farbmimetrisches Reflexions-System ORS18

für Buntton  $h^* = lab^*h = 92/360 = 0.255$   
 $lab^*tch$  und  $lab^*nch$

D65: Buntton J  
 LCH\*Ma: 86 88 92  
 rgb\*Ma: 1.0 0.9 0.0

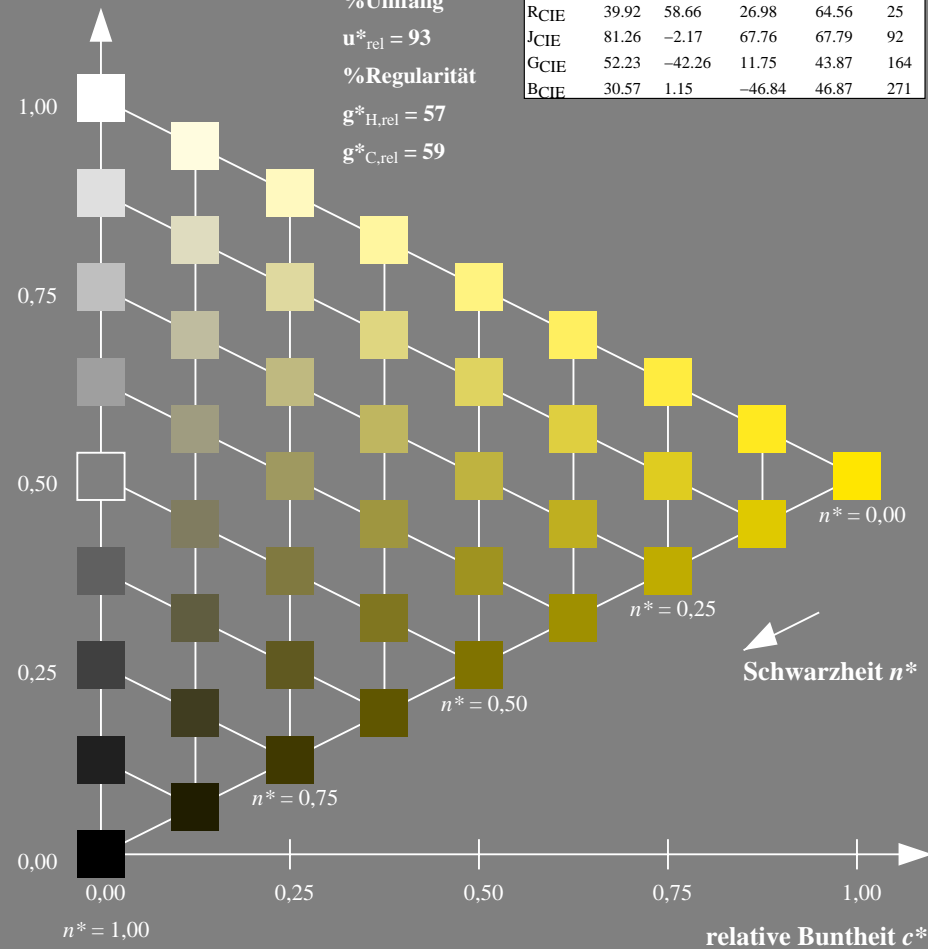
Dreiecks-Helligkeit  $t^*$



ORS18; adaptierte CIELAB-Daten

	$L^*=L^*_a$	$a^*_a$	$b^*_a$	$C^*_{ab,a}$	$h^*_{ab,a}$
OMa	47.94	65.37	50.52	82.62	38
YMa	90.37	-10.27	91.77	92.34	96
LMa	50.9	-62.79	34.95	71.87	151
CMa	58.62	-30.35	-45.01	54.3	236
VMa	25.71	31.11	-44.42	54.24	305
MMa	48.13	75.27	-8.35	75.73	354
NMa	18.01	0.0	0.0	0.0	0
WMa	95.41	0.0	0.0	0.0	0
RCIE	39.92	58.66	26.98	64.56	25
JCIE	81.26	-2.17	67.76	67.79	92
GCIE	52.23	-42.26	11.75	43.87	164
BCIE	30.57	1.15	-46.84	46.87	271

%Umfang  
 $u^*_{rel} = 93$   
 %Regularität  
 $g^*_{H,rel} = 57$   
 $g^*_{C,rel} = 59$

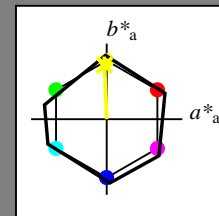


Ausgabe: Farbmimetrisches Reflexions-System NRS11

für Buntton  $h^* = lab^*h = 92/360 = 0.256$   
 $lab^*tch$  und  $lab^*nch$

D65: Buntton J  
 LCH\*Ma: 53 83 92  
 rgb\*Ma: 0.98 1.0 0.0

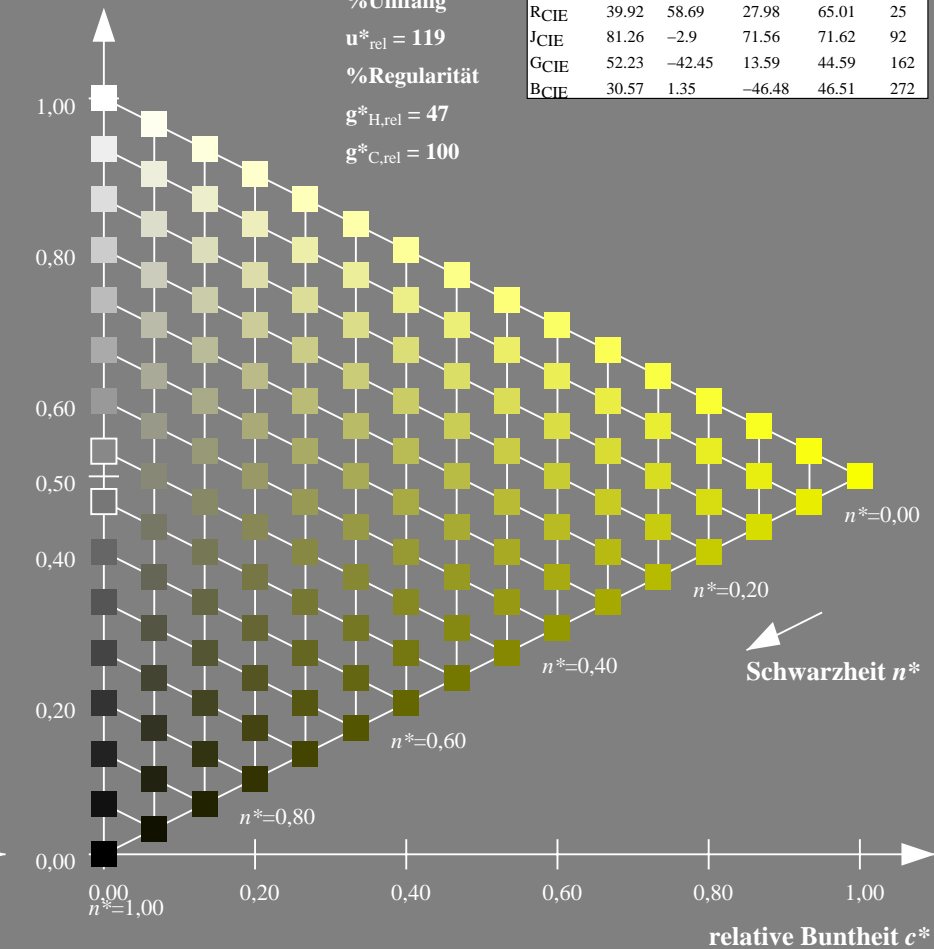
Dreiecks-Helligkeit  $t^*$



NRS11; adaptierte CIELAB-Daten

	$L^*=L^*_a$	$a^*_a$	$b^*_a$	$C^*_{ab,a}$	$h^*_{ab,a}$
RMa	53.2	77.06	34.32	84.36	24
JMa	53.2	-1.51	84.38	84.39	91
GMa	53.2	-82.27	18.98	84.44	167
G50BMa	53.2	-77.72	-32.98	84.44	203
BMa	53.2	4.37	-84.28	84.41	273
B50RMa	53.2	69.09	-48.41	84.37	325
NMa	10.99	0.0	0.0	0.0	0
WMa	95.41	0.0	0.0	0.0	0
RCIE	39.92	58.69	27.98	65.01	25
JCIE	81.26	-2.9	71.56	71.62	92
GCIE	52.23	-42.45	13.59	44.59	162
BCIE	30.57	1.35	-46.48	46.51	272

%Umfang  
 $u^*_{rel} = 119$   
 %Regularität  
 $g^*_{H,rel} = 47$   
 $g^*_{C,rel} = 100$



TG720-7, 9stufige Reihen für konstanten CIELAB Buntton 92/360 = 0.255 (links)

16stufige Reihen für konstanten CIELAB Buntton 92/360 = 0.256 (rechts)

BAM-Prüfvorlage TG72; Farbmimetrik-Systeme ORS18 & NRS11 input:  $olv^* setrgbcolor$   
 D65: 9 und 16stufige Farbreihen für 10 Bunttöne

output: no change compared to input

BAM-Registrierung: 20060101-TG72/10S/S72G07NP.PS/.PDF BAM-Material: Code=rh4ta  
 Anwendung für Beurteilung und Messung von Drucker- oder Monitorssystemen  
 /TG72 Form: 8/10, Serie: 1/1, Seite: 8  
 Seitenzahl: 8

Siehe ähnliche Dateien: <http://www.ps.bam.de/TG72/>  
 Technische Information: <http://www.ps.bam.de> Version 2.1, io=1,1

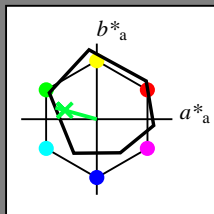


Eingabe: Farbmimetrisches Reflexions-System ORS18

für Buntton  $h^* = lab^*h = 164/360 = 0.457$   
 $lab^*tch$  und  $lab^*nch$

D65: Buntton G  
 LCH\*Ma: 53 57 164  
 rgb\*Ma: 0.0 1.0 0.25

Dreiecks-Helligkeit  $t^*$



ORS18; adaptierte CIELAB-Daten

	$L^*=L^*_a$	$a^*_a$	$b^*_a$	$C^*_{ab,a}$	$h^*_{ab,a}$
OMa	47.94	65.37	50.52	82.62	38
YMa	90.37	-10.27	91.77	92.34	96
LMa	50.9	-62.79	34.95	71.87	151
CMa	58.62	-30.35	-45.01	54.3	236
VMa	25.71	31.11	-44.42	54.24	305
MMa	48.13	75.27	-8.35	75.73	354
NMa	18.01	0.0	0.0	0.0	0
WMa	95.41	0.0	0.0	0.0	0
RCIE	39.92	58.66	26.98	64.56	25
JCIE	81.26	-2.17	67.76	67.79	92
GCIE	52.23	-42.26	11.75	43.87	164
BCIE	30.57	1.15	-46.84	46.87	271

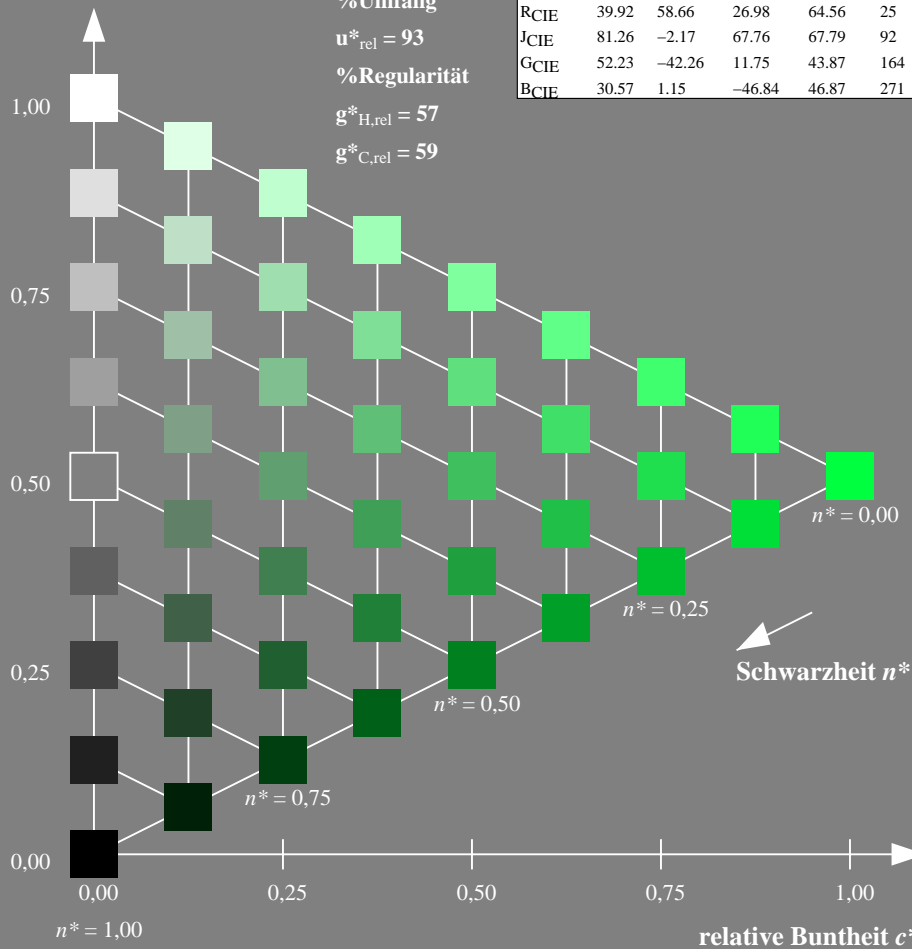
%Umfang

$u^*_{rel} = 93$

%Regularität

$g^*_{H,rel} = 57$

$g^*_{C,rel} = 59$

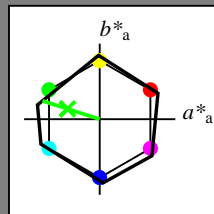


Ausgabe: Farbmimetrisches Reflexions-System NRS11

für Buntton  $h^* = lab^*h = 162/360 = 0.451$   
 $lab^*tch$  und  $lab^*nch$

D65: Buntton G  
 LCH\*Ma: 53 80 162  
 rgb\*Ma: 0.08 1.0 0.0

Dreiecks-Helligkeit  $t^*$



NRS11; adaptierte CIELAB-Daten

	$L^*=L^*_a$	$a^*_a$	$b^*_a$	$C^*_{ab,a}$	$h^*_{ab,a}$
RMa	53.2	77.06	34.32	84.36	24
JMa	53.2	-1.51	84.38	84.39	91
GMa	53.2	-82.27	18.98	84.44	167
G50BMa	53.2	-77.72	-32.98	84.44	203
BMa	53.2	4.37	-84.28	84.41	273
B50RMa	53.2	69.09	-48.41	84.37	325
NMa	10.99	0.0	0.0	0.0	0
WMa	95.41	0.0	0.0	0.0	0
RCIE	39.92	58.69	27.98	65.01	25
JCIE	81.26	-2.9	71.56	71.62	92
GCIE	52.23	-42.45	13.59	44.59	162
BCIE	30.57	1.35	-46.48	46.51	272

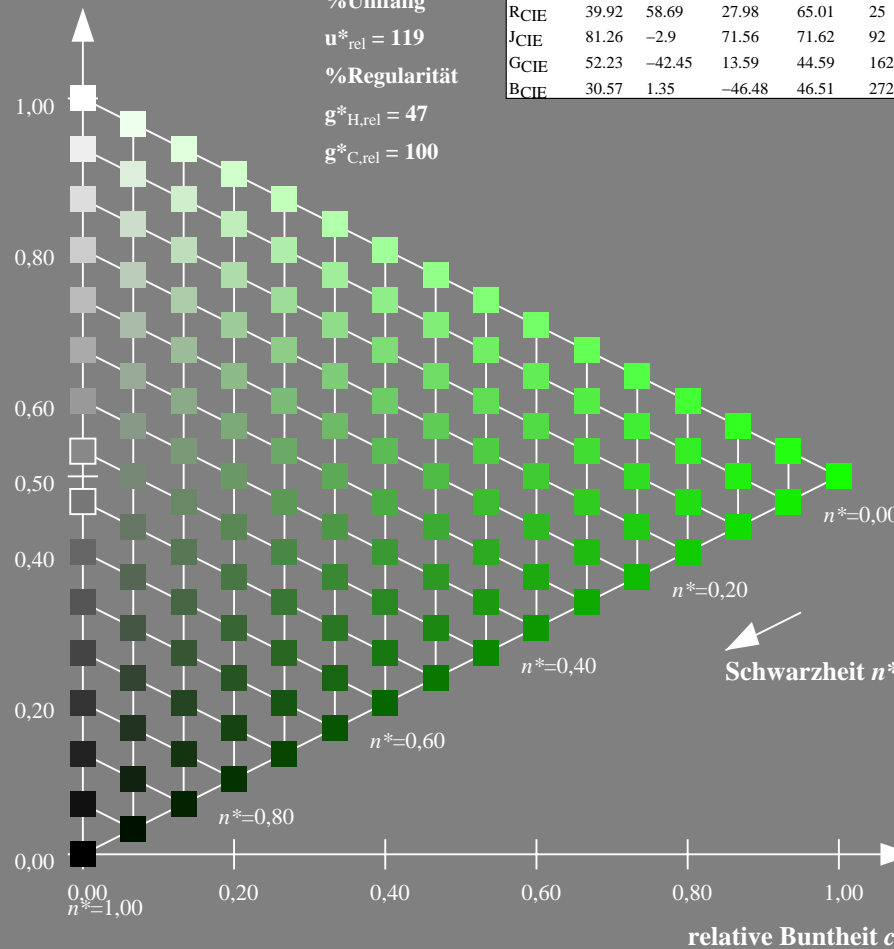
%Umfang

$u^*_{rel} = 119$

%Regularität

$g^*_{H,rel} = 47$

$g^*_{C,rel} = 100$



TG720-7, 9stufige Reihen für konstanten CIELAB Buntton 164/360 = 0.457 (links)

16stufige Reihen für konstanten CIELAB Buntton 162/360 = 0.451 (rechts)

BAM-Prüfvorlage TG72; Farbmimetrik-Systeme ORS18 & NRS11 input:  $olv^* setrgbcolor$   
 D65: 9 und 16stufige Farbreihen für 10 Bunttöne  
 output: no change compared to input

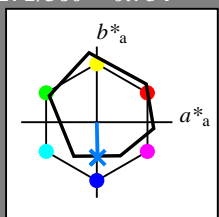
BAM-Registrierung: 20060101-TG72/10S/S72G08NP.PS/.PDF BAM-Material: Code=rh4ta  
 Anwendung für Beurteilung und Messung von Drucker- oder Monitorssystemen  
 /TG72 Form 9/10, Serie: 1/1, Seite: 9  
 Seitenhang 9

Eingabe: Farbmimetrisches Reflexions-System ORS18

für Buntton  $h^* = lab^*h = 271/360 = 0.754$   
 $lab^*tch$  und  $lab^*nch$

D65: Buntton B  
 LCH\*Ma: 42 45 271  
 rgb\*Ma: 0.0 0.49 1.0

Dreiecks-Helligkeit  $t^*$



ORS18; adaptierte CIELAB-Daten

	$L^*=L^*_a$	$a^*_a$	$b^*_a$	$C^*_{ab,a}$	$h^*_{ab,a}$
OMa	47.94	65.37	50.52	82.62	38
YMa	90.37	-10.27	91.77	92.34	96
LMa	50.9	-62.79	34.95	71.87	151
CMa	58.62	-30.35	-45.01	54.3	236
VMa	25.71	31.11	-44.42	54.24	305
MMa	48.13	75.27	-8.35	75.73	354
NMa	18.01	0.0	0.0	0.0	0
WMa	95.41	0.0	0.0	0.0	0
RCIE	39.92	58.66	26.98	64.56	25
JCIE	81.26	-2.17	67.76	67.79	92
GCIE	52.23	-42.26	11.75	43.87	164
BCIE	30.57	1.15	-46.84	46.87	271

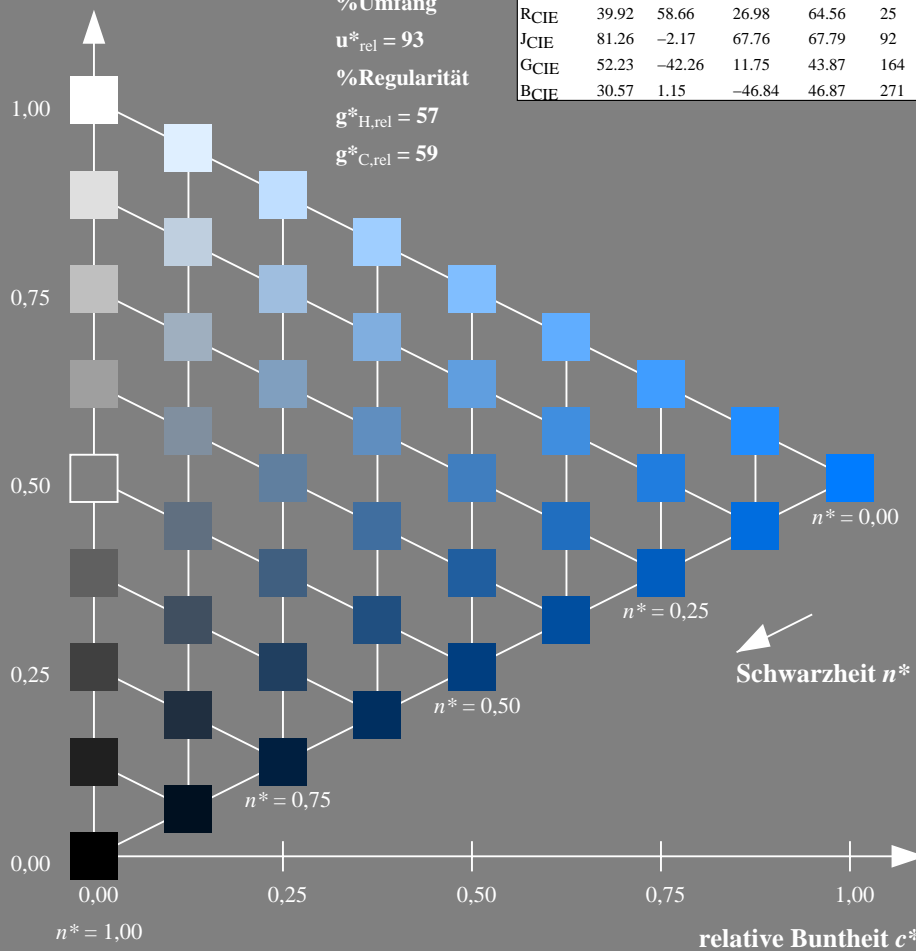
%Umfang

$u^*_{rel} = 93$

%Regularität

$g^*_{H,rel} = 57$

$g^*_{C,rel} = 59$

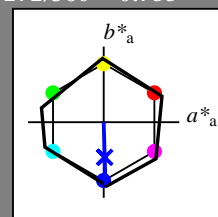


Ausgabe: Farbmimetrisches Reflexions-System NRS11

für Buntton  $h^* = lab^*h = 272/360 = 0.755$   
 $lab^*tch$  und  $lab^*nch$

D65: Buntton B  
 LCH\*Ma: 53 83 272  
 rgb\*Ma: 0.0 0.02 1.0

Dreiecks-Helligkeit  $t^*$



NRS11; adaptierte CIELAB-Daten

	$L^*=L^*_a$	$a^*_a$	$b^*_a$	$C^*_{ab,a}$	$h^*_{ab,a}$
RMa	53.2	77.06	34.32	84.36	24
JMa	53.2	-1.51	84.38	84.39	91
GMa	53.2	-82.27	18.98	84.44	167
G50BMa	53.2	-77.72	-32.98	84.44	203
BMa	53.2	4.37	-84.28	84.41	273
B50RMa	53.2	69.09	-48.41	84.37	325
NMa	10.99	0.0	0.0	0.0	0
WMa	95.41	0.0	0.0	0.0	0
RCIE	39.92	58.69	27.98	65.01	25
JCIE	81.26	-2.9	71.56	71.62	92
GCIE	52.23	-42.45	13.59	44.59	162
BCIE	30.57	1.35	-46.48	46.51	272

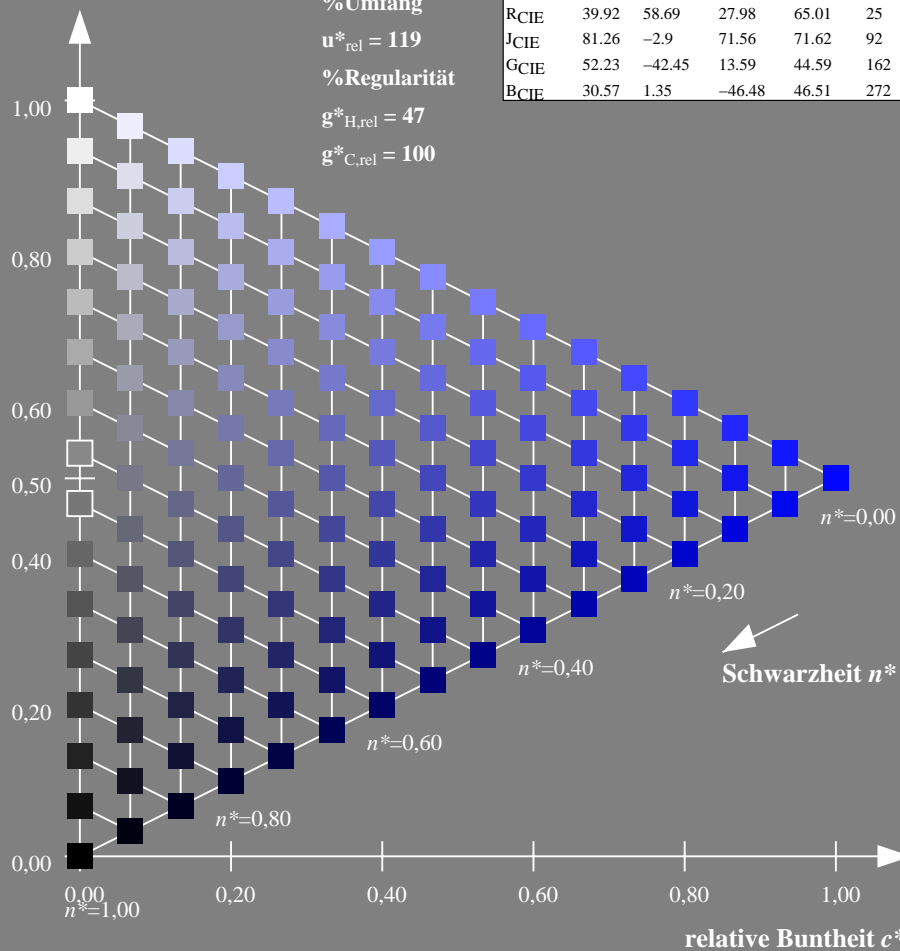
%Umfang

$u^*_{rel} = 119$

%Regularität

$g^*_{H,rel} = 47$

$g^*_{C,rel} = 100$



TG720-7, 9stufige Reihen für konstanten CIELAB Buntton 271/360 = 0.754 (links)

16stufige Reihen für konstanten CIELAB Buntton 272/360 = 0.755 (rechts)

BAM-Prüfvorlage TG72; Farbmimetrik-Systeme ORS18 & NRS11 input:  $olv^* setrgbcolor$   
 D65: 9 und 16stufige Farbreihen für 10 Bunttöne  
 output: no change compared to input